

## 討24 タービン動翼材の腐食疲労挙動

三菱重工業(株) 広島研究所 ○江原隆一郎  
長崎研究所 紅 博徳

### 1.はじめに

近時、使用条件の苛酷化及び環境の多様化にともなう腐食疲労事故が各種の機械構造物にしばしば見受けられる。蒸気タービンに用いてる腐食疲労による動翼の折損例が少なからず報告され<sup>1)~4)</sup>、動翼の腐食疲労防止は蒸気タービンの信頼性向上のための重要な課題の一つとされており。したがって、国内外において動翼の腐食疲労に関する研究が最近特に盛んに実施されている。著者らも、これまでに、代表的動翼材である13Crステンレス鋼に用いて、主として腐食疲労強さに及ぼす不純物及びその濃度、溶存酸素濃度、形状係数等の同材の腐食疲労強さの各支配因子に用いて報告してきた。<sup>4)~9)</sup>ここでは、13Crステンレス鋼の腐食疲労き裂の発生及び進展挙動の特徴について、著者らの研究結果を中心としまとめた。

### 2.腐食疲労き裂の発生挙動

13Crステンレス鋼の平滑試験片の大気中疲労限度は約40kg/mm<sup>2</sup>であるが水溶液中にNaCl, NaOH, Na<sub>2</sub>HPO<sub>4</sub>及びCH<sub>3</sub>COOH、湿り空気中にH<sub>2</sub>S, SO<sub>2</sub>及びCO<sub>2</sub>等の不純物が存在する等により疲労強さは著しく低下する<sup>4)~6), 10), 11)</sup>。例えば、 $3 \times 10^{-2}\% \text{NaCl}$ 及び40%NaOH水溶液環境中の時間強さの低下率は、淡水を80%(10<sup>9</sup>回)及び75%(10<sup>8</sup>回)となる<sup>4)</sup>。淡水等の不純物を含んだ環境中では試験片表面に微小な腐食ピットを伴なつたサブクラックが認められる場合が多い。図1は $3 \times 10^{-2}\%$ 非常に希薄なNaCl水溶液環境中で破断した試験片表面に認められた直径1μm以下の微小な腐食ピットを伴なつたサブクラックである。このような微小な腐食ピットを伴なつたサブクラックは実機動翼の表面にも認められており<sup>4)</sup>。一方、不純物を含まない蒸留水環境中においては、疲労き裂は幅の広い intrusion が発生するとの報告<sup>12)</sup>がある。したがって、不純物を含んだ腐食環境下での13Crステンレス鋼の腐食疲労き裂の発生には腐食ピットの形成が必要条件のようである。NaCl水溶液環境中の回転曲げ疲労試験の結果では、腐食ピットは破面起点部に必ず認められ(図2)、ピットの深さはNaCl濃度及び応力振幅にかかわらず略一定で約10~20μmであることを認めている。このように、腐食ピットの深さがNaCl濃度にかかわらず略一定であることはピット底でのCl<sup>-</sup>の濃縮が腐食ピット底からの腐食疲労き裂の発生を支障する一つの大さな因子であることを想像させていく。また、80°Cの3%NaCl水溶液環境中の疲労試験の結果では、腐食ピットは低溶存酸素(O<sub>2</sub> 0.01~0.02ppm)環境における大気開放(O<sub>2</sub> 2.4ppm)環境の場合と同様に疲労破面の起点に必ず認められ<sup>8)</sup>、腐食ピットの形成にはCl<sup>-</sup>が支配的な役割を果していることは示唆している。なおCT試験片によるClarkの実験結果では蒸気中の酸素



図1 腐食ピットとサブクラック(江原ほか<sup>4)</sup>)  
 $3 \times 10^{-2}\% \text{NaCl}$ 水溶液  
 $\sigma=342 \text{ MPa}, N_f=6.3 \times 10^9$



図2 起点部の腐食ピット(江原ほか<sup>4)</sup>)  
 $3 \times 10^{-2}\% \text{NaCl}$ 水溶液  
 $\sigma=183 \text{ MPa}, N_f=5.1 \times 10^7$

は漏水き裂の発生には影響を及ぼしていないが<sup>(13)</sup>, 80°C の 3% NaCl 水溶液環境中の回転曲げ漏水試験の結果では低濃度硫酸素 ( $O_2$  0.01~0.02 ppm) 環境中でも大気中漏水限度とは比べて 10<sup>8</sup> 回時間強さは約 30% 低下し、漏水き裂の発生に及ぼす硫酸素の影響が認められる。<sup>(8)</sup> しかし、3% NaCl 水溶液環境中では腐食ピットは平滑試験片ばかりでなく、切欠試験片においても形状係数の大小 ( $K_t = 1.5 \sim 3.3$ ) にかかわらず切欠底に必ず認められる。したがって、切欠係数 ( $K_f$ ) を形状係数 ( $K_t$ ) の間には、 $K_f$  が小さい領域から  $K_f < K_t$  となり、 $K_t > 2.5$  では  $K_f \approx 2$  を略一定値となつている。<sup>(8)</sup> このように、NaCl 水溶液環境中では切欠の影響よりも平滑試験片そのものの漏水強さが腐食の影響で大きく低下しているために、切欠効果の飽和現象が見られるものと考えられる。

40% NaOH 水溶液環境中においても、NaCl 水溶液環境中と同様に、腐食ピットを伴なつたサブクラックが認められるが、腐食ピット及び腐食漏水き裂は切欠底近傍に集中して発生し、鋭いき裂形態を呈し、き裂内部には腐生成物がほとんど認められないという特徴を有する。<sup>(8)</sup> そのためには、40% NaOH 水溶液環境中では、大気中と同様に  $K_f = K_t$  となつていて、<sup>(8)</sup> 大内田によると、13Cr ステンレス鋼の表面を電解研磨すると介在物の脱落による応力集中と加工硬化層の除去による圧縮残留応力の消失のために、蒸気中での丸棒平滑試験片の漏水強さが機械研磨の試験片に比べて、かえって低下している。<sup>(14)</sup> 一般に、大気中での漏水き裂の発生に及ぼす介在物の影響については、例えば炭素鋼についての角田らの詳細な研究<sup>(15)</sup>があるが、腐食漏水き裂の発生に及ぼす介在物の影響については、Parkins ら述べているように、半の重要性にもかかわらず研究実施例は非常に少ないようである。なお、Moskovitz 等のス相ステンレス鋼 (Alloy 63) に関する報告では漏水き裂は大気中では介在物が発生するが、白水 ( $CO_2$  を含んだ酸性溶液) 中ではオーステナイト中の残存オベリ帯から発生している。<sup>(17)</sup> 13Cr ステンレス鋼に関する今後の検討が必要と思われる。腐食漏水ピットの発生場所は、H<sub>2</sub>S ガス環境中での漏水試験結果 (図 3) のように、粒内が多いようである。き裂発生場所は、Wilson 等が述べているように、おそらくは応力をマルテンサイト組織の方位との関係によって決まると思われるが、発生の時期をも含めて今後の詳細な検討が望まれる。

### 3 腐食漏水き裂の進展挙動

13Cr ステンレス鋼の腐食漏水き裂進展部の破面形態としては、大気中では striation が支配的に現れるのに対して、NaCl 水溶液環境中では粒界破面が支配的に現れる (図 4)。<sup>(6), (7)</sup> 80°C の 3% NaCl 水溶液環境中での漏水試験の結果では、粒界破面は低濃度硫酸素 ( $O_2$  0.01~0.02 ppm) 環境中でも大気開放 ( $O_2 \geq 4$  ppm) 環境中と同様に認められる。<sup>(8)</sup> Schmitt-Thomas 等の研究結果では、3% および 27% NaCl 水溶液中での一定繰返し応力 ( $\sigma_a = 160$  MPa,  $G_m = 345$  MPa) での漏水寿命は室温~150°C までは次第に低下するが、150°C~200°C にかけて再び増加している。この場合、150°C までは粒界破面が支配的だが、150°C 以上では保護被膜の形成のために粒内破面が支配的に認められる。<sup>(19)</sup> 粒界破面は H<sub>2</sub>S, SO<sub>2</sub> および CO<sub>2</sub> を主な成分として湿り空気中でも同様に認められる。

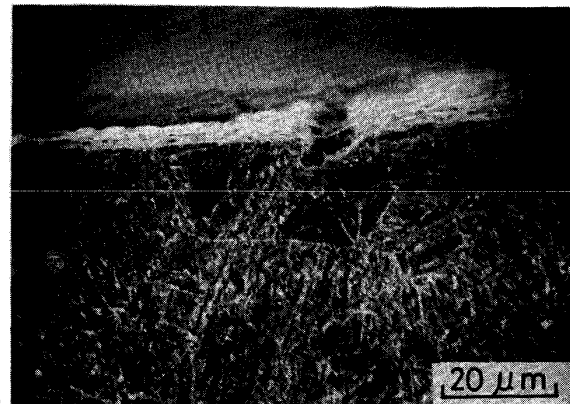


図 3. 未破裂試験片断面の腐食ピット [江草ほか<sup>(13)</sup>]  
H<sub>2</sub>S ガス環境 (H<sub>2</sub>S 20 ppm, RH 80%, 80°C)  
 $\sigma = 17.5$  kg/mm<sup>2</sup>,  $N = 1.1 \times 10^7$

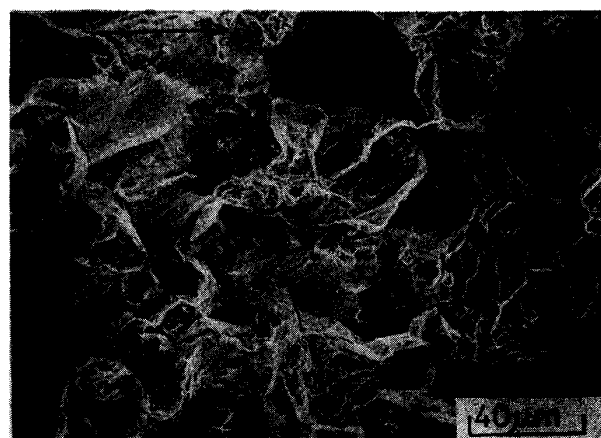


図 4. 粒界破面 [江草ほか<sup>(6)</sup>]、起点より 5.4 mm  
3 × 10<sup>-2</sup>% NaCl 水溶液  
 $\sigma = 95$  MPa,  $N_f = 5.7 \times 10^8$ , 矢印: き裂進展方向

いる。<sup>18)</sup>しかしながら、40% NaOH 水溶液環境中においては粒界破面はほとんど認められず、粒内破面が支配的に認められる。この粒内破面の詳細については今後の検討が必要だが、ほとんどの破面がマルテンサイト組織に対応しているようである。一般に NaCl 水溶液中の破面と比べ、NaOH 水溶液中の破面に関する情報は非常に少なく、その特徴は十分に把握されていない。今後の詳細な検討が望まされる。なお、アンモニアを導入した湿り蒸気中に  $\text{CH}_3\text{COOH}$  を含んだ環境中では粒界破面が支配的に認められる。<sup>19)</sup> 以上のように、13Crステンレス鋼の疲れき裂進展部の破面には NaOH 以外の不純物を含んだ環境中では粒界破面が支配的に現れることが明るくなつたが、粒界破面率を  $K_{max}$  の関係は良い対応関係が認められる。すなわち、大気開放と脱気の 3% NaCl 水溶液環境( $80^{\circ}\text{C}$ )中の回転曲げ疲労試験結果に由レ、A.J. Bush の実験式<sup>20)</sup>を適用して求めた  $K_{max}$  と粒界破面率との関係をまとめると図5及び図6の如くなる。<sup>8)</sup> 図5から、粒界破面率は  $K_{max}$  の減少につれて増大し、最大 80% をなつて後再び減少し、 $K_{max} = 20 \text{ kg/mm}^{3/2}$  程度で○をなつていることがわかる。粒界破面率の最大値は 3% NaCl 水溶液中の溶存酸素量の多少いかからず約 70~80% 程度で、粒界破面率の最大値に及ぼす溶存酸素の影響は認められない。しかししながら、粒界破面率が最大となる  $K_{max}$  値は大気開放の場合 50~60  $\text{kg/mm}^{3/2}$  であるが、低溶存酸素の場合には 60~70  $\text{kg/mm}^{3/2}$  であり溶存酸素量の多少により異なる。図5、図6の粒界破面率と  $K_{max}$  の関係も、粒界破面率と  $K_{max}$  の関係と同様に良い対応関係を示す。<sup>21)</sup> 蒸気及び蒸留水について得られた Wilson 等の実験結果<sup>12)</sup>を合わせて考えると、 $\Delta K$  の変化に対する粒界破面率の変化は環境によらず同様の傾向を示すが、粒界破面率の最大値は環境によって異なる。すなわち、13Crステンレス鋼の粒界破面率は 80°C の 3% NaCl 水溶液及び室温の  $3 \times 10^{-2}$ % NaCl 水溶液環境中では最大 80% 程度だが、水蒸気環境中では最大 50~60% 程度である。したがって、各種環境中での粒界破面率と  $\Delta K$  値との関係を種々の条件下で求めておけば、腐食疲労破面解析の際に破壊応力のみならず実機環境の推定の手がかりを得る事が可能と考えられる。今後のデータの蓄積が望まされる。

ところで、NaCl 等の不純物を含んだ環境中では粒界破面は起点部の腐食ピットから直ちに現れない。すなわち、起点部近傍には無特徴な粒内破面が先ず現れ、ある程度の深さとなって粒界破面が現れる。<sup>4)</sup> 図7では大気開放の 3% NaCl 水溶液( $80^{\circ}\text{C}$ )中の回転曲げ及び平面曲げ疲労試験で得られた結果と蒸気環境中での Wilson 等の結果<sup>12)</sup>を併せて示したものである。ここでの応力値は圧縮側は無視し、引張側のみを考慮しており、回転曲げの場合は応力振幅、平面曲げの場合は応力範囲としている。同図から、応力が大きいと粒界は直ぐに現れるが、応力が低いと起点からかなりの

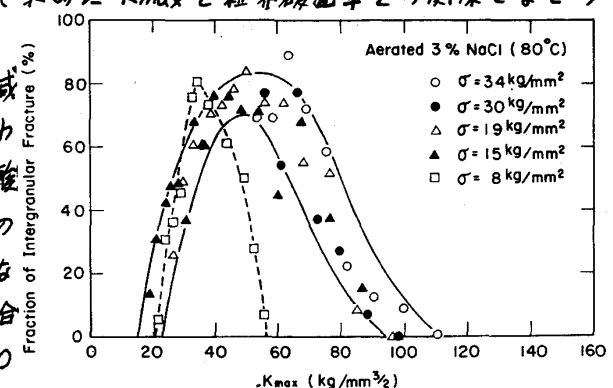


図5. 粒界破面率と  $K_{max}$  の関係 (大気開放, 3% NaCl)  
〔江原ほか<sup>8)</sup>〕

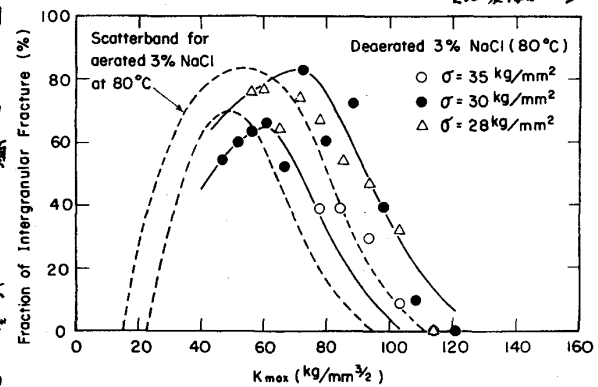


図6. 粒界破面率と  $K_{max}$  の関係 (脱気, 3% NaCl)  
〔江原ほか<sup>8)</sup>〕

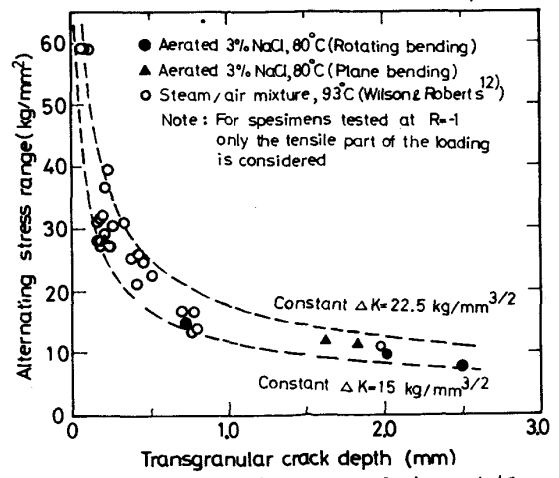


図7. 起点近傍の粒内破面の深さと応力との関係  
〔江原<sup>20)</sup>〕

距離に粒内破面が現れ以後粒界破面となることが明らかである。また、同図から、粒界破面が現れる  $\Delta K$  値は  $15 \sim 22.5 \text{ kg/mm}^{3/2}$  であることを知る。この値は  $13\text{Cr}$  ステンレス鋼の  $\Delta K_{th}$  値（例えば  $TU$  第 <sup>22</sup>；大気中  $22.7 \text{ kg/mm}^{3/2}$ ）と略等しく、初期の液化き裂進展機構との関連から興味深く、今後の一層の検討が望まわれる。最後に、表 I に、種々の環境中における  $13\text{Cr}$  ステンレス鋼の支配的な腐食疲れ破面形態と粒界破面率を一括して示す。

## 4. おわりに

以上、代表的動翼材である  $13\text{Cr}$  ステンレス鋼の腐食疲れき裂の発生及び進展挙動についてまとめた。これまでの研究によって同材の腐食疲れ挙動はかなり明らかにされつつある。しかしながら、まだ非常にマイルドな環境中の不純物の局部的濃縮の機構と腐食疲れき裂の発生及び進展挙動との関係、長寿命域での腐食疲れき裂の発生及び進展挙動と寿命との関係等不明な点が多い。タービン動翼の腐食疲れ破損を確実に防止するためには動翼材の腐食疲れき裂の挙動を更に詳細に把握する必要がある。今後の尚一層の研究が期待される。

## (参考文献)

- 1) J. Leopold, *Der Maschinen Schaden* 44 (1971), 81~91 2) H. Spähn, *Corrosion Fatigue*, NACE, 40~51 (1971). 3) 下田, 星野, *機械学会誌* 76 (1973), 1167~1171 4) 江原, 三原, 紀, 貝, 片山, 塩田, *三菱重工技報* 15 (1978), 310~317 5) 江原, 貝, #上, 益本, *材料* 27 (1978), 64~68
- 6) R. Ebara, T. Kai and K. Inoue, *Proc. of the 21st Japan Congress on Materials Research*, 89~92 (1978) 7) R. Ebara, T. Kai and K. Inoue, *Corrosion Fatigue Technology*, ASTM STP 64Z, 155~168 (1978)
- 8) 江原, 紀, 高野, 中島, 畑野, *三菱重工技報* 16 (1979), 162~167 9) 江原, ターボ機械工 (1979) 176~181
- 10) M.G. Higgins, P.E. Down and A.W. Jones, *Metallurgia* 80 (1970), 45~50 11) 江原, 重井, #上, 畑野, 鉄と鋼 63 (1977) S34Z 12) I.L.W. Wilson and B.W. Roberts, paper presented to TMS-AIME Fall Meeting (1977) 13) W.G. Clark, Jr, ASTM STP 559, 205~224 (1974). 14) 大内田, *機械学会論文集* 19 (1953), 27~34 15) 角田, 内山, 菊木, 鉄と鋼 57 (1971) 298~374 16) R.N. Parkins, paper presented to Metals Society Meeting on Corrosion Fatigue (1978) 17) J.A. Moskovitz and R.M. Peloux ASTM STP 64Z, 134~154 (1978) 18) 江原, 未発表 19) Kh-G. Schmitt-Thomas, H.M. Tensi, A. Leidung and R. Schmid, *Arch. Eisenhüttenwes.* 46 (1975) 223~227 20) A.J. Bush, *Experimental Mechanics* 16 (1976), 249~280 21) 紀, 未発表 22) L.K.L. Tu and B.B. Seth, *Journal of Testing and Evaluation* 6 (1978), 64~74

表 I 種々の環境中における  $13\text{Cr}$  ステンレス鋼の支配的腐食疲れ破面形態と粒界破面率 (F)

環 境		発 生 部	進 展 部
大 気		粒 内 (Intrusion / Extrusion)	粒 内 (場合によつては F = 50%)
蒸 気		粒 内	粒 界 (Fmax = 50 ~ 60%)
蒸 留 水		粒 内 (Intrusion / Extrusion)	(室温) 粒 内 (60°C) 粒 界
NaCl 水 溶 液 ( $3 \sim 3 \times 10^{-3}\%$ )	大 気 開 放 室温, 80°C	腐食ピット+粒内	粒 界 (Fmax = 80 ~ 90%)
	脱 気 ( $O_2 10^{-3} \sim 20 \text{ ppb}$ ) 80°C	腐食ピット+粒内	粒 界 (Fmax = 80 ~ 90%)
40% NaOH 水溶液, 80°C		無特徴な半円形状破面	粒 内
H <sub>2</sub> S SO <sub>2</sub> CO <sub>2</sub> ガス, RH80%, Temp 80°C		腐食ピット+粒内	粒 界